

---

 КЛАССИЧЕСКИЕ ПРОБЛЕМЫ  
 ЛИНЕЙНОЙ АКУСТИКИ И ТЕОРИИ ВОЛН
 

---

УДК 517.958:531.33:517.956.8

## СОБСТВЕННЫЕ КОЛЕБАНИЯ УПРУГОЙ ПОЛУПОЛОСЫ ПРИ РАЗЛИЧНОМ РАСПОЛОЖЕНИИ УЧАСТКОВ ФИКСАЦИИ ЕЕ КРАЕВ

© 2023 г. С. А. Назаров\*

*Институт проблем машиноведения РАН, Большой пр. 61, В.О., Санкт-Петербург, 199034 Россия*

\*e-mail: srgnazarov@yahoo.co.uk

Поступила в редакцию 15.08.2022 г.

После доработки 28.02.2023 г.

Принята к публикации 16.03.2023 г.

Исследуются частоты собственных колебаний и захваченные волны в изотропной и однородной упругой полуполосе. При разных конфигурациях зон жесткого защемления и свободного края получена информация об отсутствии или наличии собственных частот ниже, а в некоторых случаях и выше точки отсечки непрерывного спектра. Выведены оценки кратности дискретного спектра и построены разнообразные асимптотические представления захваченных волн и их частот.

**Ключевые слова:** изотропная полуполоса, захваченные упругие волны, условия жесткого крепления и свободного края, асимптотика, трещина

**DOI:** 10.31857/S0320791923600518, **EDN:** TWHVCA

### ИЗВЕСТНЫЕ ФАКТЫ О СПЕКТРЕ УПРУГОЙ ПОЛУПОЛОСЫ

Рассмотрим задачу о собственных колебаниях на частоте  $\omega > 0$  упругой полубесконечной полосы  $\Pi = \{x = (x_1, x_2) : x_1 \geq 0, x_2 \in (0, L)\}$  (далее полуполосы; рис. 1а), изготовленной из изотропного однородного материала с постоянными Ламе  $\lambda \geq 0$  и  $\mu > 0$ . Вектор смещений  $u = (u_1, u_2)$  удовлетворяет системе дифференциальных уравнений

$$-\mu\Delta u - (\lambda + \mu)\nabla\nabla \cdot u = \rho\omega^2 u \text{ на } \Pi. \quad (1)$$

При этом  $\nabla = \text{grad}$ ,  $\nabla \cdot = \text{div}$  и  $\Delta = \nabla \cdot \nabla$  – оператор Лапласа. Сведем размер  $L > 0$  и плотность  $\rho > 0$  к единице. На участках  $\Gamma_D$  и  $\Gamma_N$  границы  $\partial\Pi$  поставим краевые условия жесткой заделки (Дирихле) и свободного края (Неймана)

$$u = 0 \text{ на } \Gamma_D, \quad (2)$$

$$\sigma_j^{(n)}(u) := n_1\sigma_{1j}(u) + n_2\sigma_{2j}(u) = 0 \text{ на } \Gamma_N, \quad (3)$$

$$j = 1, 2.$$

Здесь  $n = (n_1, n_2)$  – единичный вектор внешней нормали, а в формулах

$$\begin{aligned} \sigma_{jk}(u) &= 2\mu\varepsilon_{jk}(u) + \lambda\delta_{jk}(\varepsilon_{11}(u) + \varepsilon_{22}(u)), \\ \varepsilon_{jk}(u) &= \frac{1}{2}\left(\frac{\partial u_j}{\partial x_k} + \frac{\partial u_k}{\partial x_j}\right), \quad j, k = 1, 2, \end{aligned} \quad (4)$$

фигурируют декартовы компоненты тензоров напряжений  $\sigma(u)$  и деформаций  $\varepsilon(u)$ , а также символ

Кронекера  $\delta_{jk}$ . Вариационная формулировка задачи (1)–(3) апеллирует к интегральному тождеству [1, 2]

$$\begin{aligned} E(u, \psi; \Pi) &:= \sum_{j, k=1, 2} (\sigma_{jk}(u), \varepsilon_{jk}(\psi))_\Pi = \omega^2(u, \psi)_\Pi, \\ \psi &\in H_0^1(\Pi; \Gamma_D), \end{aligned} \quad (5)$$

в котором  $E(u, \psi; \Pi)$  – удвоенная упругая энергия полуполосы,  $(, )_\Pi$  – натуральное скалярное произведение в пространстве Лебега  $L^2(\Pi)$ , а  $H_0^1(\Pi; \Gamma_D)$  – пространство Соболева вектор-функций, подчиненных условиям Дирихле (2).

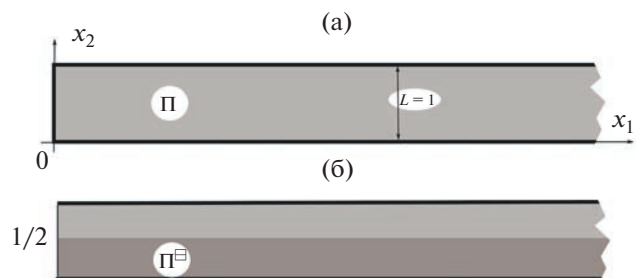


Рис. 1. Полоса  $\Pi$  единичной толщины и ее половина  $\Pi^\square$ . Зашемленная поверхность отмечена более жирными линиями – (б) только боковые стороны и (а) вместе с торцом.

Далее будет изучен спектр  $\mathfrak{P}$  задачи (1)–(3) при разных способах разбиения границы  $\partial\Pi$  на участки жесткой заделки  $\Gamma_D$  и свободного края  $\Gamma_N$ .

Вопрос о наличии или отсутствии захваченных волн в упругой полуполосе, важный сам по себе, также возникает при изучении собственных колебаний тонких пластин и балок, точнее при анализе явления пограничного слоя около их кромок, и в диагностике накопления повреждений в соединительных зонах. Для скалярных задач соответствующие конструкции собственных мод вводились и обосновывались, например, в статьях [3] и [4], но для векторных задач теории упругости планомерные исследования не публиковались. В данной работе рассматриваются векторные упругие поля, свойственные задачам о деформации тонких упругих прокладок или плит, закрепленных вдоль одного из оснований или зажатых в малой окрестности кромки. При разрыве kleевых соединений возникают зоны отслоения пластин, которые далее называем трещинами, и для исследования их влияния на спектр применяем аппарат механики разрушения (ср. [5, 6], [7, гл. 7] и др.).

Начнем с простейших случаев  $\Gamma_N = \bar{\omega} := \{x : x_1 = 0, x_2 \in (0, 1)\}$  (зажаты боковые стороны; рис. 1б) и  $\Gamma_N = \emptyset$  (закреплен также торец полуполосы; рис. 1а). Известно (ср. расчеты в работе [8]), что в обоих случаях непрерывный спектр  $\mathfrak{P}_c$  задачи (5) – луч  $[\omega_\dagger, +\infty)$  с точкой отсечки

$$\omega_\dagger = \pi\sqrt{\mu}. \quad (6)$$

При  $\Gamma_N = \emptyset$  (рис. 1а) дискретный спектр  $\mathfrak{P}_d$  пуст. Воспроизведем доказательство из работы [8], основанное на классическом приеме [9]. Производная  $u' = \partial u / \partial x_1$  собственной моды  $u \in H_0^1(\Pi; \Gamma_D)$  попадает в пространство  $H_0^1(\Pi; \partial\Pi \setminus \bar{\omega})$  благодаря условию (2) на боковых сторонах и слабой сингулярности  $O(r^\Lambda)$  с показателем  $\Lambda > 1$  поля смещений в угловых точках раствором  $\pi/2$  (см. [10] и, например, [11, гл. III, § 8]). При помощи соотношений (2) и (4), а также формулы интегрирования по частям получаем равенства

$$\begin{aligned} 0 &= \int \int_{\bar{\omega}, j=1,2} \left( \sigma_{1j}(u) u'_j - u_j \sigma_{1j}(u') \right) dx_2 = \\ &= \int_0^1 \left( (\lambda + 2\mu) \left| \frac{\partial u_1}{\partial x_1}(0, x_2) \right|^2 + \mu \left| \frac{\partial u_2}{\partial x_1}(0, x_2) \right|^2 \right) dx_2. \end{aligned} \quad (7)$$

Следовательно, поле  $u$  аннулируется на торце  $\bar{\omega}$  вместе со своими первыми производными, что невозможно в силу теоремы о единственности продолжения решений системы дифференциальных уравнений Ламе (см., например, книгу [12, гл. 4]). Итак,  $u = 0$  всюду в полуполосе, т.е. соб-

ственных мод не существует на любой частоте, а значит, пуст не только дискретный, но и точечный спектр  $\mathfrak{P}_p$  (собственных частот нет и внутри непрерывного спектра  $\mathfrak{P}_c$ ).

Убедимся в том, что в случае  $\Gamma_N = \bar{\omega}$  (торец свободен от внешних воздействий; рис. 1б) имеется хотя бы одна собственная частота ниже точки отсечки  $\omega_\dagger$ . Поскольку боковые стороны полуполосы  $\Pi$  жестко закреплены, по-прежнему  $\mathfrak{P}_c = [\omega_\dagger, +\infty)$ , а точке отсечки отвечает не зависящая от продольной координаты  $x_1$  волна

$$w_\dagger(x_2) = e_{(1)} \sin(\pi x_2), \quad (8)$$

где  $e_{(j)}$  – орт оси  $x_j$ . Согласно минимальному принципу [13, теорема 10.2.1] нижняя грань  $\underline{\mathfrak{P}}$  всего спектра  $\mathfrak{P}$  задачи (5) вычисляется по формуле

$$(\underline{\mathfrak{P}})^2 = \inf_{u \in H_0^1(\Pi; \Gamma_D)} \frac{E(u, u; \Pi)}{\|u; L^2(\Pi)\|^2}. \quad (9)$$

Таким образом, соотношение  $\underline{\mathfrak{P}} < \omega_\dagger$ , обеспечивающее непустоту дискретного спектра  $\mathfrak{P}_d$  (при этом  $\omega_1 = \underline{\mathfrak{P}}$  – первая, наименьшая, собственная частота), эквивалентно наличию пробной вектор-функции  $u^\delta \in H_0^1(\Pi; \Gamma_D)$ , для которой выполнено неравенство

$$E(u^\delta, u^\delta; \Pi) < \omega_\dagger^2 \|u^\delta; L^2(\Pi)\|^2. \quad (10)$$

Воспользуемся приемом из работы [14] и положим

$$u^\delta(x) = w_\dagger(x_2) e^{-\delta x_1} + \sqrt{\delta} \psi(x), \quad (11)$$

где  $\delta$  – малое положительное число, а  $\psi$  – гладкая вектор-функция с носителем в замкнутом квадрате  $Q = [0, 1/2] \times [1/4, 3/4] \subset \Pi \cup \bar{\omega}$ . Имеем

$$\begin{aligned} \omega_\dagger^2 \|u^\delta; L^2(\Pi)\|^2 &= \pi^2 \mu \int_0^{+\infty} e^{-2\delta x_1} dx_1 \int_0^1 \sin^2(\pi x_2) dx_2 + \\ &\quad + 2\pi^2 \mu \sqrt{\delta} \int_Q w_\dagger(x_2) \psi(x) dx + O(\delta), \\ E(u^\delta, u^\delta; \Pi) &= \mu \int_0^{+\infty} e^{-2\delta x_1} dx_1 \int_0^1 \left( \frac{\partial}{\partial x_2} \sin(\pi x_2) \right)^2 dx_2 + \\ &\quad + 2\sqrt{\delta} E(w_\dagger, \psi; Q) + O(\delta). \end{aligned}$$

Подставим эти формулы в соотношение (10) и заметим, что слагаемые порядка  $1/\delta$  в правой и левой частях взаимно уничтожаются. Таким образом, после интегрирования по частям само соотношение принимает вид

$$\begin{aligned} 0 &> 2\sqrt{\delta} (E(w_\dagger, \psi; Q) - \omega_\dagger^2 (w_\dagger, \psi)_Q) - c\delta = \\ &= -2\sqrt{\delta} \int_0^1 \sum_{j=1,2} \psi_j(0, x_2) \delta_{1j}(w_\dagger; 0, x_2) dx_2 - c\delta. \end{aligned} \quad (12)$$

Поскольку  $\sigma_{11}(w_\dagger; 0, x_2) = 0$  и  $\sigma_{12}(w_\dagger; 0, x_2) = -\mu\pi \cos(\pi x_2)$ , можно подобрать компоненту  $\psi_2$  так, чтобы последний интеграл в формуле (12) стал отрицательным, а ее правая часть — положительной при малом  $\delta > 0$ . Итак, для пробной функции (11) в самом деле выполнено неравенство (10) и, следовательно, дискретный спектр  $\mathfrak{P}_d$  содержит собственную частоту  $\omega_l < \omega_\dagger$ .

### ИСКУССТВЕННАЯ ТОЧКА ОТСЕЧКИ

Разделим полу полосу  $\Pi$  надвое и сузим задачу (1)–(3) на нижнюю половину  $\Pi^\square = \{x \in \Pi : x_2 \in (0, 1/2)\}$  (тонирована на рис. 1б), назначив на средней линии  $\Sigma_{1/2} = \{x : x_1 > 0, x_2 = 1/2\}$  искусственные краевые условия

$$u_1(x_1, 1/2) = 0, \quad \sigma_{22}(u; x_1, 1/2) = 0 \quad \text{при } x_1 > 0.$$

Продолжения решения  $u \in H^1(\Pi^\square)$ , четное для компоненты  $u_2$  и нечетное для компоненты  $u_1$ , дают (гладкое) решение исходной задачи в цельной полу полосе  $\Pi$ , а точка отсечки непрерывного спектра задачи в  $\Pi^\square$  равна

$$\omega_\dagger^\square = \min \left\{ 2\pi\sqrt{\mu}, \pi\sqrt{\lambda + 2\mu} \right\}.$$

При коэффициенте Пуассона  $v = \lambda/2(\lambda + \mu) \in [0, 1/3]$  на пороге в уполовиненной полосе имеется аналогичная (6) волна

$$w_\dagger^{1\square}(x_2) = \sin(2\pi x_2)e_{(1)},$$

а конструкции из второй части предыдущего раздела предоставляют собственную частоту  $\omega_l^{1\square} \in (0, \omega_\dagger^\square)$  задачи в  $\Pi^\square$ , причем согласно описанной процедуре продолжения собственной моды она попадает в точечный спектр  $\mathfrak{P}_d$  исходной задачи в  $\Pi$ .

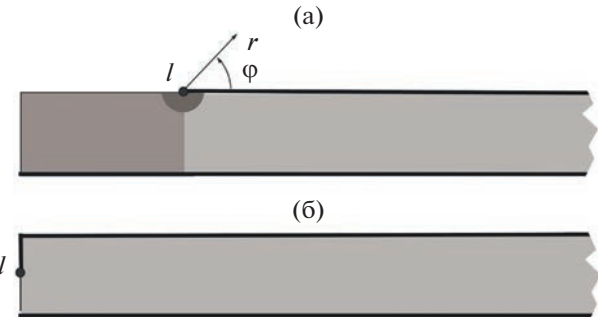
Справедливо строгое неравенство  $\omega_l^{1\square} > \omega_l$ , так как первые компоненты соответствующих собственных мод обладают разным свойством нечетности/четности относительно переменной  $x_2 - 1/2$ .

Если же  $v \in (1/3, 1/2)$ , то аналогичные действия с не зависящей от продольной координаты волной

$$w_\dagger^{2\square}(x_2) = \sin(\pi x_2)e_{(2)}$$

дают собственную частоту  $\omega_l^{2\square} \in (\omega_l, \omega_\dagger^\square)$ . Для  $v = 1/3$  полученные таким способом две частоты  $\omega_l^{1\square}$  и  $\omega_l^{2\square}$ , вообще говоря, могут совпасть.

Остается невыясненным вопрос, попадают ли нет частоты  $\omega_l^{i\square}$  на интервал  $(0, \omega_\dagger)$ , т.е. принадлежат ли они дискретному спектру  $\mathfrak{P}_d$  или



**Рис. 2.** (а) – Полоса с трещиной  $\Upsilon(\ell)$  на верхнем основании, а также полярные координаты и вырезаемый полукруг. (б) – Трещина  $\mathfrak{P}(\ell)$  длиной  $\ell$  на торце. Жирные линии – зоны защемления границы.

оказываются вкрапленными в непрерывный спектр  $\mathfrak{P}_c$  задачи (1)–(3).

Отметим, что другая группа искусственных краевых условий

$$u_2(x_1, 1/2) = 0, \quad \sigma_{12}(u; x_1, 1/2) = 0 \quad \text{при } x_1 > 0 \quad (13)$$

бесполезна для обнаружения новых собственных частот посредством минимального принципа (9), так как у задачи в зауженной полу полосе  $\Pi^\square$  с условиями (13) сохраняется точка отсечки (6).

### ОТСЛОЕНИЕ ВЕРХНЕГО ОСНОВАНИЯ ПОЛУПОЛОСЫ

Пусть на рис. 2а при  $\ell > 0$

$$\begin{aligned} \Gamma_D = \Sigma_- \cup \Sigma_+(\ell), \quad \Sigma_- = \{x : x_1 > 0, x_2 = 0\}, \\ \Sigma_+(\ell) = \{x : x_1 > \ell, x_2 = 1\}. \end{aligned} \quad (14)$$

Иными словами, на верхнем основании  $\Sigma_+ := \Sigma_+(0)$  образовалась трещина  $\Upsilon(\ell) = \{x : x_1 \in (0, \ell), x_2 = 1\}$ , но нижнее основание  $\Sigma_-$  и бесконечный участок  $\Sigma_+(\ell)$  верхнего остались жестко закрепленными. Точка отсечки (6) сохранилась, а второй прием из предыдущего раздела с прежней пробной вектор-функцией (11) устанавливает непустоту дискретного спектра при всех  $\ell \geq 0$ . Получим дополнительную информацию о кратности  $\#\mathfrak{P}_d(\ell)$  и образующих  $\mathfrak{P}_d(\ell)$  собственных частотах

$$\omega_l(\ell) \leq \omega_2(\ell) \leq \dots \leq \omega_{\#\mathfrak{P}_d(\ell)}(\ell). \quad (15)$$

Они вычисляются при помощи максиминимального принципа

$$\omega_j(\ell)^2 = \max_{\mathcal{E}_j} \inf_{u \in \mathcal{E}_j \setminus \{0\}} \frac{E(u, u; \Pi)}{\|u; L^2(\Pi)\|^2}, \quad (16)$$

где  $\mathcal{E}_j$  – любое подпространство в  $H_0^1(\Pi; \Gamma_D)$  с ко-размерностью  $j - 1$ , в частности,  $\mathcal{E}_1 = H_0^1(\Pi; \Gamma_D)$ . Более точно, теорема 10.2.2 в [13] гарантирует следующее: если при некотором  $j$  величина из правой части (16) строго меньше  $\omega_*^2 = \mu\pi^2$ , то, во-первых,  $\#\mathfrak{p}_d(\ell) \geq j$  и, во-вторых, корень квадратный из этой величины – собственная частота с номером  $j$  из списка (15). Поскольку  $\mathcal{E}_j(\ell_1) \subset \mathcal{E}_j(\ell_2)$  при  $\ell_1 < \ell_2$ , а дробь Рэлея в формуле (16) не зависит от способа постановки краевых условий, справедливо неравенство  $\omega_j(\ell_1) > \omega_j(\ell_2)$ , т.е. функции

$$\ell \mapsto \omega_j(\ell) \quad (17)$$

– монотонно убывающие на лучах  $(\ell_j, +\infty)$ ; здесь  $\ell_j \geq 0$  – длина трещины, при которой происходит приращение кратности дискретного спектра (см. ниже). Убывание строгое: собственная мода  $u^j(x; \ell_1)$  не может быть пропорциональна  $u^j(x; \ell_2)$ , так как иначе она удовлетворяет обоим краевым условиям (2) и (3) на отрезке  $\Upsilon(\ell_2) \setminus \Upsilon(\ell_1)$ , что противоречит упоминавшейся теореме о единственности продолжения решения системы Ламе.

Сначала получим простую, но грубую оценку кратности  $\#\mathfrak{p}_d(\ell)$  дискретного спектра. С этой целью опять применим максиминимальный принцип (16) с пробными функциями

$$u^k(x) = e_{(1)} \cos\left(\pi\left(j - \frac{1}{2}\right)\frac{x_1}{\ell}\right) \sin\left(\frac{\pi}{2}x_2\right), \quad (18)$$

$$x_1 \in (0, \ell),$$

продолженными нулем на усеченную полуполосу  $\Pi^\ell = (\ell, +\infty) \times (0, 1)$  (оставлена без глубокого тонирования на рис. 2а) при сохранении класса Соболева  $H^1$ . Вычислим дробь Рэлея при  $j \in \mathbb{N} := \{1, 2, 3, \dots\}$ . Имеем

$$\begin{aligned} \|u^j; L^2(\Pi)\|^2 &= \frac{\ell}{4}, \quad E(u^j, u^j; \Pi) = \\ &= \mu \frac{\pi^2}{4} \int_0^\ell \cos^2\left(\pi\left(j - \frac{1}{2}\right)\frac{x_1}{\ell}\right) dx_1 \int_0^1 \cos^2\left(\frac{\pi}{2}x_2\right) dx_2 + \\ &\quad + \frac{\lambda + 2\mu}{\ell^2} \pi^2 \left(j - \frac{1}{2}\right)^2 \int_0^\ell \sin^2\left(\pi\left(j - \frac{1}{2}\right)\frac{x_1}{\ell}\right) \times \\ &\quad \times dx_1 \int_0^1 \sin^2\left(\frac{\pi}{2}x_2\right) dx_2 = \mu \frac{\pi^2}{16} \ell + \frac{\lambda + 2\mu}{4\ell} \pi^2 \left(j - \frac{1}{2}\right)^2. \end{aligned}$$

Следовательно, искомая дробь Рэлея равна

$$\mu \frac{\pi^2}{4} + (\lambda + 2\mu) \frac{\pi^2}{\ell^2} \left(j - \frac{1}{2}\right)^2, \quad (19)$$

и при натуральном индексе  $j$ , подчиненном соотношению

$$j < J(\ell) := \frac{1}{2} \left(1 + \ell \sqrt{\frac{3\mu}{\lambda + 2\mu}}\right),$$

правая часть формулы (16), вычисленная для вектор-функции (18), строго меньше квадрата точки отсечки (6), т.е. теорема 10.2.2 в [13], в частности, показывает, что кратность дискретного спектра  $\#\mathfrak{p}_d(\ell)$ , строго меньшая  $J(\ell)$ , неограниченно возрастает при  $\ell \rightarrow +\infty$ .

Обнаруженная оценка кратности неточная и ее можно улучшить для достаточно длинных трещин, вычислив асимптотику собственных частот при  $\ell \rightarrow +\infty$ . Для этого построим одномерную модель длинной (тонкой после масштабирования) балки  $\Xi(\ell) = (0, \ell) \times (0, 1)$  (глубоко тонирована на рис. 2а) с защемленным нижним основанием и торцом  $\bar{\Omega}(\ell) = \{x : x_1 = \ell, x_2 \in (0, 1)\}$ . Примем асимптотический анзац для собственной моды

$$\begin{aligned} u(x) &= v(\eta) e_{(1)} \sin\left(\frac{\pi}{2}x_2\right) + V_2(x_2) e_{(2)} \frac{1}{\ell} \frac{dv}{d\eta}(\eta) + \\ &\quad + V_1(x_2) e_{(1)} \frac{1}{\ell^2} \frac{dv}{d\eta}(\eta) + \dots, \end{aligned} \quad (20)$$

где  $\eta = x_2/\ell$  – растянутая продольная координата, а многоточие заменяет младшие асимптотические члены, не существенные для предпринимаемого анализа. Подставим выражение (20) в систему (1) со спектральным параметром

$$\omega^2 = \omega_*^2 + \ell^{-2}\beta + \dots, \quad (21)$$

где

$$\omega_* = \frac{\pi}{2} \sqrt{\mu} = \frac{1}{2} \omega_*. \quad (22)$$

Проделаем то же с краевыми условиями при  $x_1 \in (0, \ell)$  или  $\eta \in (0, 1)$ . Заметив, что члены, содержащие саму функцию  $v$ , взаимно уничтожаются, соберем множители при производной  $\ell^{-1}dv/d\eta$  и получим следующую скалярную задачу для компоненты  $V_2$ :

$$-(\lambda + 2\mu) \frac{d^2V_2}{dx_2^2} - \frac{\pi^2}{4} \mu V_2 = \frac{\pi}{2} (\lambda + \mu) \cos\left(\frac{\pi}{2}x_2\right) \quad (23)$$

при  $x_2 \in (0, 1)$ ,

$$V_2(0) = 0, \quad (\lambda + 2\mu) \frac{dV_2}{dx_2}(1) = -\lambda. \quad (24)$$

Таким образом,

$$\begin{aligned} V_2(x_2) &= \\ &= \frac{2}{\pi} \left( \cos\left(\frac{\pi}{2}x_2\right) - \cos\left(\frac{\pi}{2}\Lambda x_2\right) + B \sin\left(\frac{\pi}{2}\Lambda x_2\right) \right), \end{aligned} \quad (25)$$

а коэффициенты

$$\begin{aligned} B &= \left( \cos\left(\frac{\pi}{2}\Lambda\right) \right)^{-1} \left( 2\Lambda - \sin\left(\frac{\pi}{2}\Lambda\right) \right) > 0, \\ \Lambda &= \sqrt{\frac{\mu}{\lambda + 2\mu}} \in \left[ 0, \frac{1}{\sqrt{2}} \right] \end{aligned} \quad (26)$$

включают положительные косинус и синус, причем  $\sin(\pi\Lambda/2) \leq \pi\Lambda/2 < 2\Lambda$ .

В силу формулы (21) коэффициенты при  $\ell^{-2}$  в системе (21) образуют уравнение

$$\begin{aligned} &- \mu \left( \frac{d^2 V_1}{dx_2^2} + \frac{\pi^2}{4} V_1 \right) \frac{d^2 v}{d\eta^2} = \\ &= F_1 := \left( (\lambda + 2\mu) \frac{d^2 v}{d\eta^2} + \beta v \right) \sin\left(\frac{\pi}{2}x_2\right) + \\ &+ (\lambda + \mu) \frac{dV_2}{dx_2} \frac{d^2 v}{d\eta^2} \quad \text{при } x_2 \in (0, 1). \end{aligned} \quad (27)$$

Это уравнение, снабженное краевыми условиями

$$V_1(0) = 0, \quad \mu \frac{dV_1}{dx_2}(1) = G_1 := -\mu V_2(1) \frac{d^2 v}{d\eta^2}, \quad (28)$$

имеет решение в том и только в том случае, если выполнено соотношение

$$\int_0^1 \sin\left(\frac{\pi}{2}x_2\right) F_1(x_2) dx_2 + G_1 = 0,$$

которое приобретает вид обыкновенного дифференциального уравнения

$$-(\mu + b) \frac{d^2 v}{d\eta^2}(\eta) = 2\beta v(\eta) \quad \text{при } \eta \in (0, 1). \quad (29)$$

Для вычисления коэффициента

$$b = \frac{4}{\pi} (\lambda + 2\mu) \left( \cos\left(\frac{\pi}{2}\Lambda\right) \right)^{-1} \Lambda (1 + 4\Lambda^2) Y(\Lambda) \quad (30)$$

удобно воспользоваться выкладкой

$$\begin{aligned} &(\lambda + \mu) \int_0^1 \sin\left(\frac{\pi}{2}\Lambda x_2\right) \frac{dV_2}{dx_2}(x_2) dx_2 = \\ &= -(\lambda + 2\mu) \frac{2}{\pi} \int_0^1 \frac{dV_2}{dx_2}(x_2) \frac{d}{dx_2} \cos\left(\frac{\pi}{2}\Lambda x_2\right) dx_2 - \\ &- \mu \int_0^1 \sin\left(\frac{\pi}{2}\Lambda x_2\right) \frac{dV_2}{dx_2}(x_2) dx_2 = \frac{2}{\pi} \int_0^1 ((\lambda + 2\mu) \times \\ &\times \frac{d^2 V_2}{dx_2^2}(x_2) + \omega_\ddagger^2 V_2(x_2)) \cos\left(\frac{\pi}{2}\Lambda x_2\right) dx_2 + \\ &+ (\lambda + 2\mu) \frac{2}{\pi} \frac{dV_2}{dx_2}(0) - \mu V_2(1), \end{aligned}$$

в которой последнее подынтегральное выражение находится из уравнения (23), а внеинтеграль-

ные члены – при помощи формул (25) и (26). Фигурирующая в (30) функция

$$\left( 0, \frac{1}{\sqrt{2}} \right] \sum \Lambda \mapsto Y(\Lambda) = \frac{4\Lambda}{1 + 4\Lambda^2} - \sin\left(\frac{\pi}{2}\Lambda\right) \quad (31)$$

имеет одну экстремальную точку  $\Lambda_\circ \in (0, 1/2)$ , монотонно возрастает на участке  $(0, \Lambda_\circ)$  и удовлетворяет соотношениям  $Y(0) = 0$  и  $Y(2^{-1/2}) > 0.04$ . Таким образом, функция (31) и величина (30) положительные.

В искомой модели балки уравнение (29) снабжается краевыми условиями

$$\frac{dv}{d\eta}(0) = 0, \quad v(1) = 0, \quad (32)$$

а собственные пары задачи (29), (32) принимают вид

$$\begin{aligned} \beta_j &= (\mu + b)^2 \frac{\pi^2}{2} \left( j - \frac{1}{2} \right)^2, \\ v_j(\eta) &= \cos\left(\pi\left(j - \frac{1}{2}\right)\eta\right), \quad j \in \mathbb{N}. \end{aligned}$$

Обоснование построенных асимптотик собственных частот и мод проводится по стандартной схеме (см. публикации [15, 16, 8, 17]), а точное утверждение предоставляет для любого индекса  $j \in \mathbb{N}$  такие величины  $\ell(j)$  и  $C(j)$ , что при  $\ell > \ell(j)$  собственная частота из списка (15) расположена ниже точки отсечки (6) и удовлетворяет оценке

$$\left| \omega_j(\ell) - \frac{\omega_\ddagger}{2} - \frac{\beta_j}{\omega_\ddagger \ell^2} \right| \leq \frac{C(j)}{\ell^3}. \quad (33)$$

Как и следовало ожидать, полученное ранее выражение (19) превосходит сумму  $\omega_\ddagger^2 + \ell^{-2}\beta_j$ . Подчеркнем особо, что увеличение номера  $j$  влечет за собой рост величин  $\ell(j)$  и  $C(j)$ , т.е. асимптотическая формула (33) обслуживает на должном уровне лишь несколько первых членов в списке (15) – подробное изучение этого вопроса можно найти в книге [18, гл. 7], где, в частности, выявлена зависимость мажоранты в правой части оценки (33) от номера  $j$ .

Нетрудно построить и полные асимптотические разложения собственных частот и мод. Формальные бесконечные асимптотические ряды, в частности, включают члены типа пограничного слоя, описываемые решениями задачи в единичной полосе  $\Pi_+$  с пороговым спектральным параметром

$$\begin{aligned} -\mu \Delta w - (\lambda + \mu) \nabla \nabla \cdot w - \omega_\ddagger^2 w &= f \\ \text{в } \Pi_+ &= \mathbb{R} \times (0, 1), \end{aligned} \quad (34)$$

$$w = 0 \quad \text{при } x_1 \in \mathbb{R}, \quad x_2 = 1, \quad (35)$$

$$\begin{aligned} \sigma_{12}(w) &= g_1, \quad \sigma_{22}(w) = g_2 \quad \text{при } x_1 < 0, \\ w &= 0 \quad \text{при } x_1 > 0, \quad x_2 = 0. \end{aligned} \quad (36)$$

В последнем разделе статьи будет показано, что задача (34)–(36) с финитными правыми частями  $f$  и  $g = (g_1, g_2)$  однозначно разрешима в классе вектор-функций, экспоненциально затухающих при  $x_1 \rightarrow +\infty$  и подчиненных на бесконечности “условию излучения”

$$\begin{aligned} w(x) &= S \sin\left(\frac{\pi}{2}x_2\right) + O(e^{\delta x_1}) \\ \text{при } x_1 &\rightarrow -\infty \text{ и } \delta > 0. \end{aligned} \quad (37)$$

Это обстоятельство позволяет организовать итерационный процесс построения бесконечных формальных асимптотических рядов для  $\omega_j(\ell)$  и  $u^j(x; \ell)$  и поочередно определить их члены при решении (неоднородных) задач (29), (30) и (34)–(36). Поправки в асимптотике собственной частоты находятся при соблюдении условия разрешимости смешанных краевых задач для обыкновенного дифференциального уравнения на отрезке  $(0, 1)$   $\ni \eta$ , а для продолжения с прямоугольника  $\Xi(\ell)$  на полу-полосу  $\Pi^\ell = \Pi \setminus \overline{\Xi(\ell)}$  (см. рис. 2а) их решения можно умножить на гладкую срезающую функцию  $\chi(x_1 - \ell)$ , равную единице при  $x_1 < \ell - 1$  и нулю при  $x_1 > \ell$ , – именно такое действие привносят правые части в соотношения (34) и (36). Подчеркнем, что слагаемые типа пограничного слоя, определяемые при решении задачи в  $\Pi_-$ , затухают при  $x_1 \rightarrow +\infty$  с экспоненциальной скоростью, а значит, какой-либо задачи в  $\Pi^\ell$  решать не требуется.

### АСИМПТОТИЧЕСКИЕ ФОРМУЛЫ ПРИ УВЕЛИЧЕНИИ ЗОНЫ ОТСЛОЕНИЯ

В ситуации (14) придадим малое приращение  $h > 0$  длине трещины  $\Upsilon(\ell)$  на верхнем основании полуполосы  $\Pi$  и найдем главные поправочные члены асимптотик

$$\omega_j(\ell + h) = \omega_j(\ell) - h\omega'_j(\ell) + O(h^2) \quad (38)$$

собственных частот из списка (15). Согласно [10] (см. также [19], [11, гл. III, § 8], [7, гл. 7]) соответствующие собственные моды  $u^j \in H_0^1(\Pi; \Gamma_D)$ , нормированные равенством

$$\|u^j; L^2(\Pi)\| = 1, \quad (39)$$

допускают около конца трещины представления

$$u^j(x; \ell) = \chi_0(r_\ell) \sum_{\pm} K_j^{\pm}(\ell) X^{\pm}(x_1 - \ell, x_2) + \tilde{u}^j(x; \ell). \quad (40)$$

Поясним обозначения. Прежде всего  $(r_\ell, \varphi_\ell) \in (0, +\infty) \times [0, 2\pi)$  – полярные координаты с центром в вершине  $P(\ell) = (\ell, 1)$  трещины (рис. 2а), а  $\chi_0$  – гладкая срезающая функция с малым носителем, равная единице в окрестности точки  $r_\ell = 0$ . Далее аргумент  $\ell$  и индекс  $j$  по возможности не пишем. Вектор-функции

$$X^{\pm}(x) = r_\ell^{\pm ai + 1/2} \Phi^{\pm}(\varphi_\ell), \quad a > 0 \quad (41)$$

включают угловые части  $\Phi^{\pm} \in C^\infty[0, \pi]$  и первый (с наименьшей положительной вещественной частью) корень  $\mathbf{a} = \pm ai + 1/2$  трансцендентного уравнения (см. [10] и [11, гл. III, § 8])

$$\sin^2(\pi \mathbf{a}) = \frac{(\lambda + 2\mu)^2}{(\lambda + \mu)(\lambda + 3\mu)} \in \left(1, \frac{4}{3}\right]. \quad (42)$$

Таким образом, коэффициенты интенсивности напряжений  $K^{\pm}$  комплексные (ср., например, [20]), но, несмотря на присутствие в степенном решении (41) мнимой единицы  $i$ , собственную моду (40), разумеется, можно зафиксировать вещественной.

Вектор-функции (41) суть решения модельной задачи теории упругости в полуплоскости  $\mathbb{R}_+^2 = \{x : x_2 > 0\}$  с условиями (2) и (3) на лучах  $\{x : x_1 > \ell, x_2 = 1\}$  и  $\{x : x_1 < \ell, x_2 = 1\}$  соответственно. Согласно общим результатам [21] (см. также [7, гл. 3, § 2]) эта задача имеет еще одну пару решений

$$Y^{\pm}(x; \ell) = r_\ell^{\pm ai - 1/2} \Psi^{\pm}(\varphi_\ell), \quad (43)$$

для которых верны формулы

$$\begin{aligned} Q(X^{\pm}, Y^{\pm}) &:= R \int_{-\pi}^{2\pi} \left( \overline{Y_r^{\pm}} \sigma_{rr}(X^{\pm}) + \overline{Y_\varphi^{\pm}} \sigma_{r\varphi}(X^{\pm}) - \right. \\ &\quad \left. - \overline{\sigma_{rr}(Y^{\pm})} X_r^{\pm} + \overline{\sigma_{r\varphi}(Y^{\pm})} X_\varphi^{\pm} \right) \Big|_{r=R} d\varphi = 1. \end{aligned} \quad (44)$$

Черта обозначает комплексное сопряжение, а подынтегральное выражение имеет порядок  $R^{-1}$ : форма  $Q$  возникла как одномерный интеграл в формуле Грина для оператора Ламе и потому не зависит от параметра  $R$  для решений модельной задачи в  $\mathbb{R}_+^2$ . Отсюда, в частности, вытекает, что  $Q(X^{\mp}, Y^{\pm}) = 0$  из-за рассогласования показателей  $\pm ai - 1/2$  и  $\mp ai + 1/2$  у степенных решений  $X^{\mp}$  и  $Y^{\pm}$ .

Методика дифференцирования вдоль трещин (см. изложение статьи [22] в книге [7, гл. 7, § 4], а также работу [23] для одной из задач механики трещин) устанавливает, что все степенные решения упомянутой модельной задачи в полуплоскости приобретают показатели  $\pm ai + p + 1/2$ ,  $p \in \mathbb{Z} = \{0, \pm 1, \pm 2, \dots\}$  и  $\pm(q + 1)$ ,  $q \in \mathbb{N}$ . Кроме того,

имеет место следующая связь степенных решений (41) и (43):

$$\frac{\partial X^\pm}{\partial x_1}(x) = -AY^\pm(x), \quad A > 0. \quad (45)$$

Определение множителя  $A$  трудоемко — требуется найти корни уравнения (42), восстановить угловые части  $\Phi^\pm, \Psi^\pm$  согласно формулам из [11, гл. III §8] и вычислить громоздкий интеграл из (44), однако положительность множителя  $A$  уже была проверена в [22, 23] при помощи асимптотического анализа задач о росте трещины. Воспроизведем сопутствующие выкладки в переложении для рассматриваемой задачи. Применим метод сращиваемых асимптотических разложений (см. монографии [24, 25]) и дополним понятное внешнее разложение

$$u(x; \ell + h) = u^0(x) + hu'(x) + \dots \quad (46)$$

внутренним разложением

$$u(x; \ell + h) = \sum_{\pm} K^\pm X^\pm(x_1 - \ell - h, x_2) + \dots, \quad (47)$$

приемлемым вблизи точки  $P(\ell + h)$  и учитывающим представление (40), а также малый сдвиг вершины трещины. Преобразованная согласно связи (45) формула Тейлора

---


$$\begin{aligned} 2\omega\omega' &= 2\omega\omega' \lim_{R \rightarrow +0} \int_{\Pi(R)} \overline{u^0} \cdot u^0 dx = \lim_{R \rightarrow +0} \int_{\Pi(R)} \overline{u^0} \cdot (\mu\Delta u' + (\lambda + \mu)\nabla\nabla \cdot u' + \omega^2 u') dx = \\ &= -\lim_{R \rightarrow +0} R \int_{-\pi}^{2\pi} \left( \overline{u^0}_r \sigma_{rr}(u') + \overline{u^0}_\varphi \sigma_{r\varphi}(u') - \sigma_{rr}(\overline{u^0}) u'_r + \sigma_{r\varphi}(\overline{u^0}) u'_\varphi \right) \Big|_{r=R} d\varphi = \\ &= -Q(u', u^0) = \overline{Q(u^0, u')} = \overline{Q\left(\sum_{\pm} K^\pm X^\pm, A \sum_{\pm} K^\pm Y^\pm\right)} = A \sum_{\pm} |K^\pm|^2. \end{aligned} \quad (51)$$


---

Обратим внимание на то, что комплексное сопряжение самой вектор-функции  $u^0$  не нужно, но оно потребовалось в конце выкладки и не сказалось на результате.

Итак, получена следующая асимптотическая формула, согласованная с проверенной ранее монотонностью функций (17):

$$\omega_j(\ell + h) = \omega_j(\ell) - h \frac{A}{2\omega_j(\ell)} \sum_{\pm} |K^\pm(\ell)|^2 + O(h^2).$$

Если оба коэффициента интенсивности напряжений обратились в нуль, то скорость  $O(h)$  уменьшения собственной частоты замедляется по крайней мере до  $O(h^3)$ .

$$\begin{aligned} X^\pm(x_1 - \ell - h, x_2) &= X^\pm(x_1 - \ell, x_2) - \\ &\quad - h \frac{\partial X^\pm}{\partial x_1}(x_1, x_2) + O(h^2) = \\ &= X^\pm(x_1 - \ell, x_2) + h A Y^\pm(x_1 - \ell, x_2) + O(h^2) \end{aligned} \quad (48)$$

и процедура сращивания разложений на уровне  $h$  показывают, что поправочные члены в anzах (38) и (46) удовлетворяют системе уравнений

$-\mu\Delta u' - (\lambda + \mu)\nabla\nabla \cdot u' = \omega^2 u' - 2\omega\omega' u^0$  на  $\Pi$  (49) и краевым условиям (2) и (3), а также вытекающим из (47), (48) и (45) условиям роста около вершины трещины

$$u'(x) = A \sum_{\pm} K^\pm Y^\pm(x_1 - \ell, x_2) + O(r_\ell^{1/2}) \quad (50)$$

при  $x \rightarrow P(\ell)$ .

Поскольку  $\omega(\ell)$  — собственная частота, для существования сингулярного поля  $u'$  требуется соблюсти условие разрешимости сформированной задачи (49), (2), (3), (50). С целью его проверки умножим систему дифференциальных уравнений скалярно на вектор  $\overline{u^0}(x) = \overline{u^j(x; \ell)}$  и применим формулу Грина в области

$$\Pi(R) = \{x \in \Pi : r_\ell > R\}$$

с вырезанным малым ( $R \rightarrow +0$ ) полукругом (глубоко тонирован на рис. 2а). При учете соотношений (39) и (44) получаем, что

## ПОРОГОВЫЕ РЕЗОНАНСЫ

Ввиду устойчивости собственных частот (15), принадлежащих дискретному спектру, увеличение его кратности  $\#\mathfrak{p}_d(\ell)$  при вариации параметра  $\ell$  может происходить исключительно вследствие отцепления собственной частоты  $\omega_j(\ell + h)$  от нижней грани непрерывного спектра (точки его отсечки (6)). Такое явление наблюдается в том случае, если у задачи (1)–(3) при  $\ell = \ell_j$  возникает пороговый резонанс (см. статьи [26–29]), а именно, у задачи с пороговой частотой  $\omega = \omega_+$  имеется (вещественное) решение

$$u_+(x) = s_+ w_+(x_2) + \tilde{u}_+(x) \quad (52)$$

с экспоненциально затухающим остатком  $\tilde{u}_+$ . Если  $s_+ = 0$ , то  $u_+$  – захваченная волна, но в случае  $s_+ \neq 0$  решение (52) стабилизируется при  $x_1 \rightarrow +\infty$  к вектор-функции (8) поперечной переменной  $x_2$  и резонанс называется правильным [28]. К сожалению, не удалось выяснить, обращается ли в нуль коэффициент  $s_+$  для конкретных критических длин  $\ell_j$ . Поэтому обсудим обе возможности и продемонстрируем, что качество порогового резонанса оказывается на процессе отцепления собственных частот.

При  $s_+ = 0$  сохраним асимптотический анзац (38) для собственной частоты  $\omega_j(\ell_j + h) \in \mathfrak{p}_d(\ell_j + h)$ . Кроме того, для соответствующей собственной моды  $u^j(x; \ell_j + h)$  принимаем прежние внешнее и внутреннее разложения (46) и (47), а для поправок  $\omega'_j > 0$  и  $u^{j'} \in H_0^1(\Pi; \Gamma_D)$  выводим задачу (49), (2), (3), (50) и при помощи выкладки (51) получаем окончательную формулу

$$\begin{aligned} \omega(\ell_j + h) &= \\ &= \omega_+ - h \frac{A}{2\omega_+} \sum_{\pm} |K^{\pm}(\ell_j)|^2 + O(h^2) \in (0, \omega_+). \end{aligned} \quad (53)$$

Если коэффициенты интенсивности напряжений обратились в нуль (ср. соотношение (64) при  $\bar{\omega} \subset \Gamma_D$ ), то представление (53) становится малосодержательным и требуется построение младших асимптотических членов, а скорость  $O(h)$  отцепления собственной частоты уменьшается до  $O(h^3)$  (ср. асимптотические конструкции в работе [16]).

К сожалению, нельзя утверждать, что формула (53) остается в силе при  $h < 0$ , т.е. при уменьшении длины трещины. Дело в том, что в принципе возможно поднятие истинной собственной частоты вовнутрь непрерывного спектра, однако ее положение неустойчиво и заранее неизвестно, окажутся ли все младшие асимптотические члены в разложении (53) вещественными, или появится точка комплексного резонанса с малой мнимой частью (ср. [30, 17]). Впрочем, используя метод “точной настройки” параметров (см., например, [31, 29]) можно попытаться и при  $h < 0$  поместить величину  $\omega_j(\ell_j + h)$  на вещественную ось путем тщательного подбора профиля  $H^h(x_2)$  искривленного торца  $\bar{\omega}_h$  полубесконечной полосы

$$\Pi(H^h) = \{x : x_2 \in (0, 1), x_1 > hH^h(x_2)\}. \quad (54)$$

В случае правильного порогового резонанса требуются более сложные вычисления. Начнем с построения одномерной модели колебаний тонкой упругой прокладки  $\Xi(h)$  между двумя абсолютно жесткими полуплоскостями. В новом

асимптотическом анзаце (20), ингредиенты которого снабдим символом  $\bullet$ , производится замена  $\sin(\pi x_2/2) \mapsto \sin(\pi x_2)$ , учитывающая условия защемления (2) на обоих сторонах прокладки. Кроме того, функции  $V_2^\bullet$  и  $V_1^\bullet$  находятся из задач (23), (24) и (27), (28), в которых вместо дроби  $\pi/2$  всюду фигурирует число  $\pi$  и последние условия Неймана заменены условиями Дирихле  $V_2^\bullet(1) = 0$  и  $V_1^\bullet(1) = 0$ . Таким образом, получаем выражение

$$\begin{aligned} V_2^\bullet(x_2) &= \pi^{-1} (\cos(\pi x_2) - \cos(\pi \Lambda x_2) + \\ &+ (\sin(\pi \Lambda))^{-1} (1 + \cos(\pi \Lambda)) \sin(\pi \Lambda x_2)) \end{aligned} \quad (55)$$

с прежним коэффициентом  $\Lambda < 1$  из (26) и положительной величиной  $\sin(\pi \Lambda)$ . Наконец, условие разрешимости задачи для  $V_1$  принимает вид обыкновенного дифференциального уравнения (29) с новым коэффициентом

$$b^\bullet = 4(\lambda + 2\mu) \frac{\Lambda}{\pi} \frac{1 + \cos(\pi \Lambda)}{\sin(\pi \Lambda)} > 0. \quad (56)$$

В искомой модели упругой прокладки  $\Xi(\ell)$  уравнение (29) снабжается условиями в точках  $\eta = 0$  и  $\eta = 1$ , имитирующими краевые условия на торцах  $\bar{\omega}$  и  $\bar{\omega}(\ell)$ , однако далее будут востребованы два факта, которые благодаря проведенным вычислениям вытекают из общих результатов [19], [7, гл. 3, § 1] и [33, гл. 9]. Во-первых, на пороговой частоте  $\omega_+$  у задачи в цельной полосе  $\Pi_+ = \mathbb{R} \times (0, 1)$  с условиями Дирихле (2) на боковых сторонах помимо ограниченной волны (8) имеется линейно растущая волна

$$w_+^1(x) = x_1 w_+(x_2) + e_{(2)} V_2^\bullet(x_2), \quad (57)$$

но других полиномиально зависящих от переменной  $x_1$  волн нет.

Во-вторых, у той же задачи в  $\Pi_+$  на частоте

$$\omega(\ell_j + h) = \omega_+ - h^2 \omega'' + O(h^2) \in (0, \omega_+) \quad (58)$$

имеются две медленно растущие при  $x_1 \rightarrow \pm\infty$  волны

$$\begin{aligned} w^{\pm}(x; h) &= e^{\pm \kappa(h)x_1} W^{\pm}(x; h) e^{\pm \kappa(h)x_1} \times \\ &\times (\sin(\pi x_2)e_{(1)} \pm \kappa(h)V_2^\bullet(x_2)e_{(2)} + \\ &+ \kappa(h)^2 V_1^\bullet(x_2)e_{(1)} + \dots) = \sin(\pi x_2)e_{(1)} \pm \\ &\pm \kappa(h)(x_1 \sin(\pi x_2)e_{(1)} + V_2^\bullet(x_2)e_{(2)}) + \dots, \end{aligned} \quad (59)$$

где  $V_2^\bullet$  – функция (55),  $V_1^\bullet$  – решение видоизмененной указанным выше способом задачи (27), (28) и

$$\kappa(h) = \kappa_0 h + O(h^2), \quad \kappa_0 = 2 \sqrt{\frac{\omega_+ \omega''}{\mu + b}} > 0. \quad (60)$$

Формальная проверка того, что вектор-функции (57) и (59) удовлетворяют задачам в полосе  $\Pi_-$ , производится непосредственными вычислениями.

Поскольку в формуле (58) пороговой частоте  $\omega_+$  предписано возмущение  $O(h^2)$ , слагаемое  $u'$  из внешнего разложения (46) удовлетворяет системе (1) с параметром  $\omega = \omega_+$ , краевым условиям (2), (3) и условиям роста (50), полученным в результате срашивания с внутренним разложением (47) около точки  $P(\ell_j + h)$ . Из-за наличия ограниченного решения (52) полученная задача имеет только линейно растущее на бесконечности решение

$$u'(x) = s_1 w_+^1(x) + s_0 u_+(x) + \tilde{u}'(x) \quad (61)$$

с экспоненциально затухающим остатком  $\tilde{u}'$ , произвольным коэффициентом  $s_0$  и коэффициентом  $s_1$  при линейной волне (57), вычисляемом при помощи усложненной выкладки (51). Именно,

$$\begin{aligned} 0 = -Q(u', u^0) + \lim_{T \rightarrow +\infty} \int_0^1 \sum_{j=1,2} \left( \sigma_{1j}(u'; T, x_2) \overline{u_j^0(T, x_2)} - \right. \\ \left. - \overline{\sigma_{1j}(u_j^0; T, x_2)} u_j'(T, x_2) \right) dx_2 = A \sum_{\pm} |K_{\pm}^{\pm}|^2 + \\ + s_1 s_+ \int_0^1 ((\lambda + 2\mu) \sin(\pi x_2) + \\ + \lambda \frac{dV_2}{dx_2}(x_2)) \sin(\pi x_2) - \mu \pi \cos(\pi x_2) V_2(x_2) dx_2 \end{aligned} \quad (62)$$

и, следовательно,

$$s_1 = -\frac{2}{\mu + b} \cdot \frac{A}{s_+} \sum_{\pm} |K_{\pm}^{\pm}|^2. \quad (63)$$

Пояснение: применили формулу Грина в прямоугольнике  $\Xi(T)$  с вырезанным полукругом малого радиуса с центром  $P(\ell_j)$ , а интегралы по полуокружности и отрезку  $\{x : x_1 = T, x_2 \in (0, 1)\}$  вычислили при помощи разложений (50), (40) с коэффициентами интенсивности  $K_{\pm}^{\pm}$  и представлений (52), (61), (57), причем при нахождении последнего интеграла из (62) повторили выкладку, приведшую к выражению (56).

Слагаемые  $u^0$  и  $u'$  не затухают при  $x_1 \rightarrow +\infty$ , а значит, анзац (46) нуждается в исправлении на больших расстояниях от конца  $P(\ell_j + h)$  трещины  $\Upsilon(\ell_j + h)$ . Следуя работам [16, 32], срастим его с разложением

$$u(x; \ell_j + h) = s_+(h) w^-(x; h) + \dots,$$

содержащим множитель  $s_+(h) = s_+ + O(h)$  и волну (59), равную  $O(e^{-\kappa(h)x_1})$  и содержащую малый, но положительный показатель (60). Таким образом, представление (61) свойственно именно захваченной волне. Соотношение  $s_1 = -s_+ \kappa_0$  (важен знак минус), появившееся в результате срашивания, в силу формул (60) и (63) предоставляет поправочный член в анзаце (58) для собственной частоты:

$$\omega'' = \frac{1}{\mu + b} \cdot \frac{1}{\omega_+} \frac{1}{s_+^2} \left( \sum_{\pm} |K_{\pm}^{\pm}|^2 \right)^2.$$

Итак, в случае правильного порогового резонанса собственная частота отцепляется от порога с меньшей скоростью  $O(h^2)$ , чем в случае захваченной волны (52),  $s_+ = 0$ . Если оба коэффициента интенсивности напряжений  $K_{\pm}^{\pm}$  обратились в нуль, то скорость снижается по крайней мере до  $O(h^4)$  — для ее вычисления требуются младшие асимптотические члены (ср. публикации [16, 32]). В рассмотренной задаче при условии  $\varpi \subset \Gamma_N$  аналитически определить кратность порогового резонанса не удается. Если же  $\Gamma_N = \Upsilon(\ell)$  и  $\varpi \subset \Gamma_D$ , то все выкладки и рассуждения из предыдущих разделов нуждаются лишь в незначительных изменениях, например, первое краевое условие Неймана в (32) для одномерных моделей балки  $\Xi(\ell)$  становится условием Дирихле  $v(0) = 0$ . Вместе с тем совмещение выкладок (7) и (51), примененных к ограниченному пороговому решению (52) и его производной  $u'_+ = \partial u_+ / \partial x_1$ , затухающей при  $x_1 \rightarrow +\infty$ , приводит к равенству

$$\begin{aligned} 0 = \int_0^1 \left( (\lambda + 2\mu) \left| \frac{\partial u_1}{\partial x_1}(0, x_2) \right|^2 + \mu \left| \frac{\partial u_2}{\partial x_1}(0, x_2) \right|^2 \right)^2 dx_2 - \\ - A \sum_{\pm} |K_{\pm}^{\pm}|^2. \end{aligned} \quad (64)$$

Таким образом, оба коэффициента интенсивности напряжений у решения  $u_+$  обратиться в нуль не могут. Следовательно, по понятной причине кратность порогового резонанса не превосходит двух.

## ЧАСТИЧНОЕ ЗАКРЕПЛЕНИЕ ТОРЦА

Пусть на рис. 26

$$\begin{aligned} \Gamma_N = v(\ell) := \{x : x_1 = 0, x_2 \in (0, \ell)\} \\ \text{при } \ell \in (0, 1), \end{aligned} \quad (65)$$

т.е. краевое условие (3) поставлено только на части  $v(\ell)$  торца  $\varpi$  полуполосы  $\Pi$ . В первом разделе

было показано, что при  $\ell = 0$  (вся граница  $\partial\Pi$  жестко защемлена) дискретный спектр  $\mathfrak{P}_d(\ell)$  пустой, но при  $\ell = 1$  в нем присутствуют собственные частоты (15) (однако их количество  $\#\mathfrak{P}_d(\ell)$  осталось неизвестным). Подчеркнем, что в данном разделе формулам, использованным ранее при анализе отслоения верхнего основания полуполосы, теперь придается новый смысл. Например, максиминимальный принцип (16) доказывает, что функции (17) монотонно убывают на интервале  $(\ell_j, 1)$ , где величина  $\ell_j > 0$  характеризуется поднятием собственной частоты  $\omega_j(\ell)$  на порог  $\omega_{\sharp}$  и образованием порогового резонанса. Таким образом, существует зависящий от коэффициента Пуассона  $v = \lambda/2(\lambda + \mu) \in [0, 1/2]$  размер  $\ell_*(v) \in (0, 1)$ , для которого  $\mathfrak{P}_d(\ell) = \emptyset$  при  $\ell < \ell_*(v)$ , но  $\#\mathfrak{P}_d(\ell) > 0$  при  $\ell > \ell_*(v)$ . Правомерна гипотеза: первый пороговый резонанс правильный, так как наличие быстро затухающей моды на низких частотах сомнительно. К сожалению, автор не нашел строгого подтверждения этого факта. Вычисление критического размера  $\ell_*(v)$  – также открытый вопрос.

### ЦЕЛИКОМ ОТСЛОИВШЕЕСЯ ВЕРХНЕЕ ОСНОВАНИЕ

Рассмотрим задачу (1)–(3) при условиях (убрали верхнюю жирную черту на рис. 2б)

$$\Sigma_+ \cup \Upsilon(\ell) \subset \Gamma_N, \quad \Sigma_-(\ell) \subset \Gamma_D, \quad \ell \geq 0.$$

В этом случае точка отсечки принимает вид (22), но все приведенные ранее результаты и приемы анализа остаются в силе с понятными изменениями. В частности, у задачи (1)–(3) при  $\Gamma_D = \Sigma_-$  имеется собственная частота  $\omega_{\sharp}$  ниже точки отсечки (22). Таким образом, одномерная модель (29), (32) не полностью описывает спектр конечной балки  $\Xi(\ell)$ , защемленной вдоль  $\Sigma_-(\ell) \cup \sigma(\ell)$ , а именно, ниже серии собственных частот, описываемых формулами (21) и (33), обнаружена по крайней мере одна собственная частота  $\omega_{\sharp} < \omega_{\sharp}$  с собственной модой, сугубо локализованной около торца  $\sigma$ .

В задаче о полуполосе с длинной трещиной  $\Upsilon(\ell) \subset \Sigma_+$ , т.е. при  $\Gamma_D = \Sigma_-(\ell) = \{x : x_1 > \ell, x_2 = 0\}$ , дискретный спектр становится весьма обильным, так как в модельной задаче о колебаниях балки  $\Xi(\ell)$  с единственным защемленным торцом  $\sigma(\ell)$  появляются две серии собственных частот

$$\frac{1}{\ell^2} \sqrt{\beta_j^{(2)}} + \dots \quad \text{и} \quad \frac{1}{\ell} \sqrt{\beta_j^{(1)}} + \dots,$$

в которых фигурируют собственные числа задач о поперечных и продольных колебаниях одномер-

ной балки Кирхгофа соответственно (см., например, [7, гл. 1 §3]):

$$\begin{aligned} D \frac{d^4 v^{(2)}}{d\eta^4}(\eta) &= \beta^{(2)} v^{(2)}(\eta), \quad \eta \in (0, 1), \\ \frac{d^3 v^{(2)}}{d\eta^3}(0) &= \frac{d^2 v^{(2)}}{d\eta^2}(0) = 0, \\ \frac{dv^{(2)}}{d\eta}(1) &= v^{(2)}(1) = 0 \end{aligned} \quad (66)$$

и

$$\begin{aligned} 4\mu \frac{\lambda + \mu}{\lambda + 2\mu} \frac{d^2 v^{(1)}}{d\eta^2}(\eta) &= \beta^{(1)} v^{(1)}(\eta), \quad \eta \in (0, 1), \\ \frac{dv^{(1)}}{d\eta}(0) &= 0, \quad v^{(1)}(1) = 0. \end{aligned}$$

Здесь  $D = \frac{\mu \lambda + \mu}{3\lambda + 2\mu}$  – цилиндрическая жесткость упругой балки-полосы.

### ПОЛУПОЛОСА С ПОЛНОСТЬЮ СВОБОДНЫМ КРАЕМ

При  $\Gamma_N = \partial\Pi$  и  $\Gamma_D = \emptyset$  (полностью убрали жирную черту на рис. 1а) непрерывный спектр  $\mathfrak{P}_c$  – замкнутая полуось  $\bar{\mathbb{R}}_+ = [0, +\infty)$ , а дискретный спектр заведомо пуст. Вместе с тем известно [34], что при  $\lambda = 0$ , т.е. нулевом коэффициенте Пуассона  $v = \lambda/2(\lambda + \mu)$ , у системы Ламе (1) в полуполосе  $\Pi$  с краевым условием Неймана (3) на всей ее границе  $\partial\Pi$  существует собственная частота  $\omega_{\perp}$ , вкрапленная в непрерывный спектр. Вместе с тем при увеличении  $v$  это собственное число исчезает, превращаясь в точку комплексного резонанса (см. [30, 17]), однако при малом  $v = h \in (0, h_0]$  с некоторым  $h_0 > 0$  можно предсказать (результат не опубликован) существование такого профиля  $H^h$  искривленного торца полуполосы (54) или ее боковых сторон, что в непрерывном спектре сохраняется собственная частота  $\omega_{\perp}(h) = \omega_{\perp} + O(h)$ .

Стационарной ( $\omega = 0$ ) задаче Неймана (1), (3) в прямой полуполосе  $\Pi = \mathbb{R} \times (0, 1)$  удовлетворяют три жестких смещения, поворот и трансляции,

$$\Theta(x) = x_1 e_{(2)} - x_2 e_{(1)} \quad \text{и} \quad e_{(1)} = (1, 0), \quad e_{(2)} = (0, 1), \quad (67)$$

а также полиномиальные поля

$$\begin{aligned} \frac{x_1^2}{2} e_{(1)} - x_1 x_2 e_{(1)} + \frac{\lambda}{\lambda + 2\mu} \left( \frac{x_2^2}{2} - \frac{1}{24} \right) e_{(2)} &\text{ и} \\ x_1 e_{(1)} + \frac{\lambda}{\lambda + 2\mu} x_2 e_{(2)}, & \\ \frac{x_1^3}{6} e_{(1)} - \frac{x_1^2}{2} x_2 e_{(1)} + \frac{\lambda}{\lambda + 2\mu} \left( \frac{x_2^2}{2} - \frac{1}{24} \right) x_1 e_{(2)} + & \\ + \left( \frac{3\lambda + 4\mu}{\lambda + 2\mu} \frac{x_2^3}{6} - \frac{11\lambda + 12\mu}{\lambda + 2\mu} \frac{x_2}{24} \right) e_{(1)}, & \end{aligned} \quad (68)$$

отвечающие изгибающему моменту и силам, продольной и перерезывающей. Согласно терминологии [28] наличие в списке (68) квадратичного и кубического полиномов означает, что пороговый ( $\omega_\dagger = 0$ ) резонанс в обсуждаемой задаче – вырожденный. Подчеркнем, что в рассмотренных ранее задачах резонансы на порогах (6) и (22) невырожденные, так как на пороговой частоте имеются только решения (8) и (57) с не более чем линейным ростом при  $x_1 \rightarrow \infty$ . Изменение качества порогового резонанса провоцирует еще один эффект при вариации данных задачи.

Как уже упоминалось в разделе, посвященном резонансам на пороге (6), околопороговая частота (53) или (58) возникает при увеличении длины трещины, и только в случае порогового резонанса, порожденного захваченной волной (52) при  $s_\dagger = 0$ , точка  $\omega_\dagger \in \mathfrak{p}_c(\ell_j)$  может подняться в непрерывный спектр  $\mathfrak{p}_c(\ell_j - h)$ , причем для этого требуется точная настройка профиля искривленного торца полуполосы (54).

Единственно возможное “сползание вниз” собственной частоты с порога – общее свойство невырожденных собственных пороговых резонансов. По другому дело обстоит в случае вырожденного порога, а именно, в статье [32] реализован эффект “поднятия” собственной частоты с нулевого порога, вырожденного в силу богатого набора (67), (68) решений задачи (1), (3) в полуполосе  $\Pi$ .

Поясним природу неожиданного феномена. В случае невырожденного порога на околопороговых частотах  $\omega = \omega_\dagger + \beta$ , т.е. при малом  $\beta > 0$ , решением одномерной модели (52) (уравнение второго порядка) служат только осциллирующие волны  $e^{\pm i x_1 \sqrt{2\beta}/(\mu+b)}$ , из которых соорудить захваченную волну невозможно. Вместе с тем в модели Кирхгофа список решений уравнения (66) четвертого порядка с параметром  $\beta^{(2)} = \omega^4$

$$e^{\pm i \omega x_1 \sqrt[4]{1/D}} \text{ и } e^{\pm i \omega x_1 \sqrt[4]{1/D}}$$

содержит одно затухающее при  $x_1 \rightarrow +\infty$  – именно оно и служит зачинателем захваченной волны. Поскольку в рассматриваемом случае собственная частота принадлежит непрерывному спектру  $\mathfrak{p}_c = [0, +\infty)$ , для ее сохранения потребовалась точная настройка параметров задачи, а именно, – тщательно подобранные искривленный торец полуполосы (54) и переменная плотность материала  $\rho(x; \omega)$  на конечной ее части (подробности см. в статье [32]). Многие вопросы спектрального анализа вырожденных порогов остаются открытыми.

## ДИФФЕРЕНЦИРОВАНИЕ ВДОЛЬ ГРАНИЦЫ

На первый взгляд кажется, что заимствованный из статьи [8] и восходящий к работе [9] прием дифференцирования по переменной  $x_1$  указывает на отсутствие захваченных волн в задаче (1)–(3) при  $\Gamma_N = \Upsilon(\ell)$ . Этот факт противоречил бы проверенной непустоте дискретного спектра  $\mathfrak{p}_d(\ell)$ . Однако прежняя аргументация не годится из-за корневой сингулярности производной  $u'$  в вершине трещины: неприемлемое соотношение (7) превращается во вполне возможное (64). В случае  $\Gamma_D = \{x \in \partial\Pi : x_1 < \ell\}$  благодаря перемене позиций зон Неймана и Дирихле формула (64) снова превращается в непозволительное равенство

$$0 = \int_0^1 \left( (\lambda + 2\mu) \left| \frac{\partial u_1}{\partial x_1}(0, x_2) \right|^2 + \frac{\mu}{2} \left| \frac{\partial u_2}{\partial x_1}(0, x_2) \right|^2 \right) dx_2 + A \sum_{\pm} |K^{\pm}|^2. \quad (69)$$

Таким образом, при жесткой заделке торца полуполосы или его окрестности захваченных мод нет на любой частоте. Наконец, для трещины  $\Gamma_N = \{x : x_1 \in (a, a + \ell), x_2 = 0\}$ , удаленной ( $a > 0$ ) от торца, появление собственных частот в дискретном спектре действительно возможно, так как в аналогичном (64) и (69) равенстве возникают суммы квадратов модулей коэффициентов ин-

тенсивности в точках  $(a, 1)$  и  $(a + \ell, 1)$  с разными знаками.

Дифференцирование по переменной  $x_1$  полезно и при исследовании задачи о пограничном слое около вершины трещины. Эта задача (34)–(36) в цельной полосе  $\Pi_- = \mathbb{R} \times (0, 1)$  с финитными правыми частями  $f$  и  $g$  имеет решение (37) в том и только в том случае, если нет захваченных волн.

Пусть  $u_* \in H^1(\Pi_*)$  – такая волна, конечно же, нетривиальная. Выкладка (7) для вектор-функций  $u_*$  и  $u'_* = \partial u_*/\partial x_1$  в области  $\{x \in \Pi_* : r > R\}$  показывает, что  $A|K_+(\ell)|^2 + A|K_-(\ell)|^2 = 0$ . Таким образом, коэффициенты интенсивности напряжений у волны  $u_*$  равны нулю, и поэтому ее производная  $u'_*$  остается в классе Соболева  $H^1(\Pi_*)$  и становится захваченной волной. У нее опять-таки нулевые коэффициенты интенсивности, т.е. в разложении вектор-функции  $u_*$  около начала координат  $\mathcal{O}$  отсутствуют и слагаемые порядка  $r^{\pm ia+3/2}$ . По индукции проверяем, что все члены (сходящегося) ряда по степеням радиальной переменной (см. комментарии, предшествовавшие формуле (45)) анулируются, т.е.  $u_* = 0$  в окрестности точки  $\mathcal{O}$ , что невозможно в силу уже неоднократно упоминавшейся теоремы о единственности продолжения.

## СПИСОК ЛИТЕРАТУРЫ

- Ладыженская О.А. Краевые задачи математической физики. М.: Наука, 1973. 408 с.
- Фикера Г. Теоремы существования в теории упругости. М.: Мир, 1974.
- Камоцкий И.В., Назаров С.А. О собственных функциях, локализованных около кромки тонкой области // Проблемы матем. анализа. Вып. 19. Новосибирск: Научн. книга, 1999. С. 105–148.
- Cardone G., Durante T., Nazarov S.A. The localization effect for eigenfunctions of the mixed boundary value problem in a thin cylinder with distorted ends // SIAM J. Math. Anal. 2010. V. 42. 6. P. 2581–2609.
- Черепанов Г.П. Механика хрупкого разрушения. М.: Наука, 1974.
- Слепян Л.И. Механика трещин. М.: Судостроение, 1981.
- Nazarov S.A., Plamenevsky B.A. Elliptic problems in domains with piecewise smooth boundaries. Berlin, New York: Walter de Gruyter, 1994.
- Назаров С.А. Дискретный спектр коленчатых квантовых и упругих волноводов // Журн. вычисл. матем. и матем. физ. 2016. Т. 56. 5. С. 8792013–895.
- Rellich F. Über das asymptotische Verhalten der Lösungen von  $\Delta u + \lambda u = 0$  in unendlichen Gebieten // Jahresber. Dtsch. Math.-Ver. 1943. Bd. 53. Abt. 1. S. 57–65.
- Williams M.L. Stress singularities resulting from various boundary conditions in angular corners of plate in extension // J. Appl. Mech. 1952. V. 19. 4. P. 526–528.
- Партон В.З., Перлин П.И. Методы математической теории упругости. М.: Наука, 1981.
- Leis R. Initial boundary value problems of mathematical physics. Stuttgart: B.G. Teubner, 1986.
- Бирман М.Ш., Соломянк М.З. Спектральная теория самосопряженных операторов в гильбертовом пространстве. Л.: Изд-во Ленингр. ун-та, 1980. 4 с.
- Камоцкий И.В., Назаров С.А. Экспоненциально затухающие решения задачи о дифракции на жесткой периодической решетке // Матем. заметки. 2003. Т. 73. 1. С. 138–140.
- Назаров С.А. Локализованные волны в Т-образном волноводе // Акуст. журн. 2010. Т. 56. 6. С. 747–758.
- Назаров С.А. Волны, захваченные тонким искривленным экраном в волноводе с жесткими стенками // Акуст. журн. 2012. Т. 58. 6. С. 6832013–691.
- Назаров С.А. Обострение и сглаживание околовороговых аномалий Вуда в акустическом волноводе // Акуст. журн. 2018. Т. 64. 5. С. 5342013–546.
- Назаров С.А. Асимптотическая теория тонких пластин и стержней. Понижение размерности и интегральные оценки. Новосибирск: Научная книга, 2002. 408 с.
- Кондратьев В.А. Краевые задачи для эллиптических уравнений в областях с коническими или угловыми точками // Труды Московск. матем. общества. 1963. Т. 16. С. 219–292.
- Theocaris P.S., Ioakimidis N.I. Stress-intensity factors and complex path-independent integrals // Transactions of the ASME. 1980. V. 47. Р. 342–346.
- Мазья В.Г., Пламеневский Б.А. О коэффициентах в асимптотике решений эллиптических краевых задач в области с коническими точками // Math. Nachr. 1977. Bd. 76. S. 29–60.
- Назаров С.А. Весовые функции и инвариантные интегралы // Вычислительная механика деформируемого твердого тела. 1990. Вып. 1. С. 17–31.
- Назаров С.А. Трещина на стыке анизотропных тел. Сингулярности упругих полей и критерии разрушения при контакте берегов // Прикладная матем. и механика. 2005. Т. 69. 3. С. 520–532.
- Van Dijk M.D. Методы возмущений в механике жидкостей. М.: Мир, 1967.
- Ильин А.М. Согласование асимптотических разложений решений краевых задач. М.: Наука, 1989. 36 с.
- Molchanov S., Vainberg B. Scattering solutions in networks of thin fibers: small diameter asymptotics // Comm. Math. Phys. 2007. V. 273. 2. P. 5332013–559.
- Grieser D. Spectra of graph neighborhoods and scattering // Proc. London Math. Soc. 2008. V. 97. 3. P. 718–752.
- Назаров С.А. Пороговые резонансы и виртуальные уровни в спектре цилиндрических и периодических волноводов // Известия РАН. Серия матем. 2020. Т. 84. 6. С. 73–130.
- Назаров С.А. Аномалии рассеяния акустических волн вблизи точек отсечки непрерывного спектра (обзор) // Акуст. журн. 2020. Т. 66. 5. С. 4892013–508.
- Aslanyan A., Parnovski L., Vassiliev D. Complex resonances in acoustic waveguides // Q. J. Mech. Appl. Math. 2000. V. 53. P. 429–447.
- Назаров С.А. Принудительная устойчивость простого собственного числа на непрерывном спектре волновода // Функциональный анализ и его приложения. 2013. Т. 47. 3. С. 37–53.
- Назаров С.А. Построение захваченной волны на низких частотах в упругом волноводе // Функциональный анализ и его приложения. 2020. Т. 54. 1. С. 41–57.
- Вайнберг М.М., Треногин В.А. Теория ветвления решений нелинейных уравнений. М.: Наука, 1969. Р8 с.
- Roitberg I., Vassiliev D., Weidl T. Edge resonance in an elastic semi-strip // Quart. J. Mech. Appl. Math. 1998. V. 51. 1. P. 1–13.